

# Modèle dynamique de suivi d'interface par analyse d'images 4D

---

Etienne Mémin<sup>(1)</sup> - Sylvie Schueller-Messier<sup>(2)</sup> - Jean-François Lecomte<sup>(2)</sup>

(1) - INRIA Fluminance - Rennes

(2) - IFP Energies nouvelles - Rueil Malmaison

01 décembre 2020

Collaboration INRIA/IFPEN





## Thèse 2012

Suivi de courbes libres fermées déformables  
par processus stochastique.  
C. Avenel. E. Mémin.

**Inria**  
Fluminance



**Phénomènes naturels**



**Modèle analogique**



**Processus expérimental**



**Tracking Salt/Rock Interface**

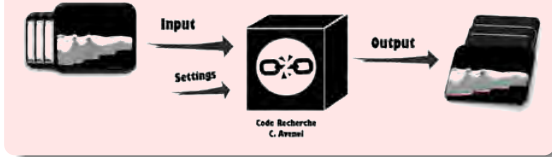




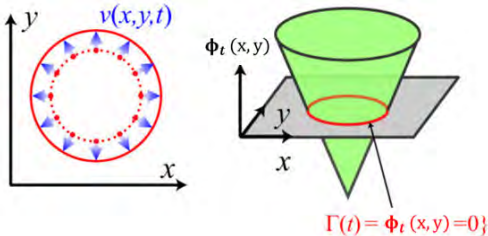
## Une expertise théorique

- Suivre les déformations inter-trames
- Courbe à partir d'une représentation en **LevelSet**
- **Équation d'évolution** dans l'espace du LevelSet.

## Une Application



- Code **C++/Python**
- Rendre le code compilable et exécutable pour nos données.
- Optimiser le code
- Compréhension des paramètres.



Définir la fonction  $\Phi_t(x, y) = 0$  sur le contour  $\Gamma_t$  et telle que:

$$\begin{cases} \Phi_t(x, y) < 0 & \text{si } (x, y) \text{ à l'intérieur} \\ \Phi_t(x, y) > 0 & \text{si } (x, y) \text{ à l'extérieur} \end{cases}$$

Choisir  $\Phi$  comme **Distance signée** à l'interface  $\Gamma$ .

## Équation d'évolution

$$\Phi_{t+1} = \Phi_t + \Delta t \omega_n ||\nabla \Phi||$$

connaître  $\begin{cases} \Phi_0 \\ \omega_n \end{cases}$

### ● LevelSet Initial



Image de départ



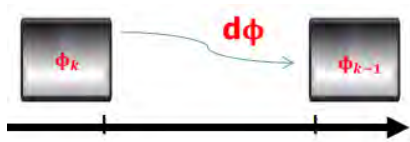
Image binaire



Image distance :  $\Phi_0$   
[Danielsson, 1980]

# Équation d'évolution

HYDROCARBURES  
RESPONSABLES



- $d\Phi(\omega_n, \mathbf{B})$

$\omega_n$  Champ de vitesse estimé (selon la normale du plan)

$\mathbf{B}$  Mouvement brownien

- $\omega_n(v, F)$

$v$  Champ de vitesse issu des trajectoires  $\Psi$   
[Pons et al., 2006]

$F$  Force de Chan-Vese (composante photométrique locale) [Chan et al., 2000]

- $\omega_n = \beta(t)v^t n + (1-\beta(t))\delta_\Phi F(\Phi)$

$\beta(t)$  Pondération entre  $v$  et  $F$ . Empirique.

- Champ de vitesse  $v$

$\Psi$  autre levelset qui stocke les déplacements entre deux images successives.

→ évolue en même temps que  $\Phi$

$v = \frac{\Delta \Psi}{\Delta t}$  vitesse se déduit des déplacements.

- Force  $F$

- Deux histogrammes tridimensionnels de référence. Un pour l'intérieur et un pour l'extérieur de l'objet.

- Histogramme local au voisinage du pixel  $x$ .

- Distance de Bhattacharya

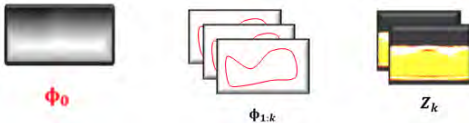
- Mouvement brownien  $\mathbf{B}$

- $d\Phi_i^{stochastique} = d\Phi + B_i$

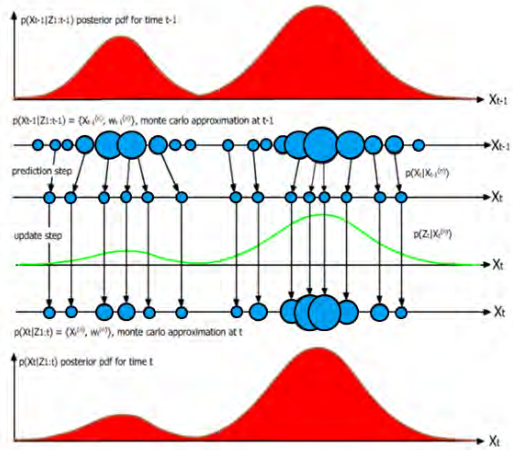
# g-h Filter ( $\alpha - \beta$ Filter)



- État Initial  $\Phi_0$
- Variable d'état: Surface implicite  $\Phi_{1:k}$
- Observations:  $z_k$  Images.



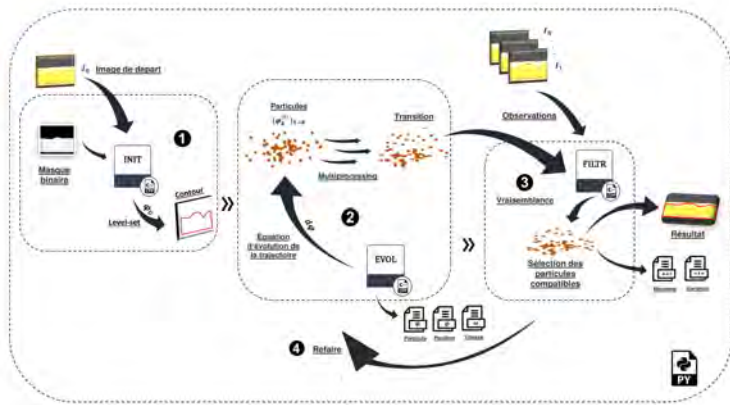
- Étape de prédiction : Modèle d'évolution
  - $\Phi_k = \Phi_{k-1} + d\Phi(\omega_n, B)$
  - la fonction  $\Phi_k$  sert de support au level-set et représente l'interface sel/roche qui évolue au cours du temps.
  - la fonction  $d\Phi$  l'évolution spatio-temporelle de l'interface à tout instant  $t$
- Étape de mise à jour : Modèle d'observation
  - $Z_k = H(\Phi_k) + b$ 
    - $b$ : bruit d'observation
    - $H(\Phi_k)$  Lien entre les observations et la variable d'état.
  - $p(z_k | \Phi_k) \approx \exp(-\lambda d_{Bath}(h_{in}, h_{est}))$ 
    - distance de Bhattacharya entre histogramme objet  $h_{in}$  et histogramme local  $h_{est}$
    - $\lambda$  Constante positive choisie de manière empirique



- Filtre particulaire / méthodes de Monte-Carlo séquentielles
- Avec rééchantillonnage d'importance séquentielle (SIR)
- Concentré sur les zones les plus significatives de l'espace des états.

# Travail préliminaire : Stage

HYDROCARBURES  
RESPONSABLES



Souhaieb Aouayeb, 2020  
La Mise En Place D'un  
Outil De Suivi Graphique  
De Structures Salifères

Souhaieb Aouayeb, 2020

Application du code sur un  
modèle analogique en util-  
isant 1000 particules.

Makki Karim, 2021

## Stochastic Filtering for Surface Evolution Tracking Application to Salt/Rock Interface Tracking in Geology

- Filtrage stochastique 2D de l'interface sel/roche sur les images.
  - Coupler à la base de modèles analogiques.
  - Améliorer les résultats (Meilleur paramétrage, remplacer quelques modules )
  - Interpréter la LevelSet de tracking du déplacement  $\Psi$
- Stratégie de parallélisation.
- Extension des équations d'évolution au cas 3D.
  - Notamment par *l'interpolation* des données manquantes

*Innover les énergies*

Retrouvez-nous sur :

🌐 [www.ifpenergiesnouvelles.fr](http://www.ifpenergiesnouvelles.fr)

🐦 [@IFPENinnovation](https://twitter.com/IFPENinnovation)

